



MINISTÉRIO DA EDUCAÇÃO - MEC  
UNIVERSIDADE FEDERAL DO PIAUÍ - UFPI  
DEPARTAMENTO DE FÍSICA  
PRÓ-REITORIA DE PESQUISA E PÓS-GRADUAÇÃO - PRPPG  
COORDENADORIA GERAL DE PESQUISA - CGP  
PROGRAMA DE INICIAÇÃO CIENTÍFICA - PIBIC - UFPI  
CAMPUS UNIVERSITÁRIO MINISTRO PETRÔNIO PORTELA -  
BLOCO 06 - BAIRRO ININGA CEP: 64049-550 - TERESINA-PI -  
BRASIL - FONE: (86) 3215-5564 - FONE/FAX: (86) 3215-5560

## **Fase de Gouy e trajetórias não clássicas na interferência com ondas de matéria no experimento de fenda tripla**

Orientando: Carlos Henrique da Silva Vieira - Física - DF - UFPI.

Orientador: Prof. Dr. Jonathan da Rocha Martins - DF - UFPI.

Teresina - PI.

Fevereiro de 2016

## Resumo

Aqui propomos um modelo simples para estudar o efeito da fase de Gouy em um experimento de fenda tripla onde nos consideramos uma trajetória não clássica. Utilizamos a diferença entre as fase de Gouy de caminhos clássicos e não clássicos para estimar o parâmetro de Sorkin  $\kappa$  que mede a contribuição da função de onda não clássica, associada com uma trajetória não clássica no padrão de interferência em um experimento.

## 1 Introdução

A fase de Gouy foi estudado teoricamente por L. G. Gouy em 1890 [1,2]. As origens físicas desse desvio de fase são discutidas em [3,10]. A mudança de fase de Gouy está presente em qualquer tipo de onda que seja submetida a um confinamento espacial transversal, por focalização ou por difração em pequenas aberturas. Quando a onda é focalizada [5], o deslocamento de fase de Gouy associada com a propagação de  $-\infty$  para  $\infty$  é igual a  $\pi/2$  para ondas cilíndricas (foco linear), e  $\pi$  para ondas esféricas (foco pontual).

Já no caso da difração por uma fenda mostrou-se que a mudança de fase de Gouy é de  $\pi/4$ , e que esse desvio depende do comprimento da fenda assim como dos tempos de propagação antes e depois da fenda [11]. A mudança de fase de Gouy foi observada em ondas de água [12], acústica [13], superfície plasmon-polarito [14], phonon-polariton [15] pulsos, e recentemente em ondas de matéria [16-18].

Aplicações da fase de Gouy em ondas eletromagnéticas abre a possibilidade no desenvolvimento de sistemas físicos interessantes. Por exemplo, a fase de Gouy deve ser levada em conta na determinação da frequência de ressonância em cavidades laser [19], também na geração de harmônicos de alta ordem (HHG) [20], bem como na descrição da variação espacial da fase do invólucro de pulsos ultracurtos no foco do laser [21].

Além disso, a fase de Gouy desempenha um papel importante na evolução de feixes vortex de luz [22] bem como em feixes de elétrons que adquirem uma fase de Gouy adicional dependente do valor absoluto do momento angular orbital [17]. As antenas para detecção de ondas de gravidade são baseadas em interferometria usando laser onde a fase de Gouy é essencial [23].

No contexto de ondas de matéria não relativística a fase de Gouy foi primeiramente explorada em [24-25], seguido por realizações experimentais com condensados de Bose-Einstein [16], feixes vórtex de elétrons [17]. Recentemente, foi mostrado que a Bateman-Hillion uma solução da equação

de Klein-Gordon apresenta a fase de Gouy o que permite acrescenta efeitos relativísticos [26]. A fase de Gouy em ondas de matéria tem aplicações interessantes, por exemplo, ela funciona como um importante conversor de modo em informação quântica [25], no desenvolvimento de óptica eletrônica [18], no estudo do fenômeno Zitterbewegung [26].

Agora nós investigaremos qual a importância da fase de Gouy no estudo de trajetórias não clássicas, isto é, em caminhos exóticos, menos prováveis, no padrão de interferência no experimento de fenda tripla.

O tratamento teórico de caminhos não clássicos na fenda dupla é discutido em [27]. Onde foi estimado um termo de interferência para testar o limite do princípio da superposição no experimento de fenda dupla. O estudo foi feito utilizando a abordagem da integral de caminho de Feynman [28] com a inclusão de um caminho de "looping" ao longo das fendas, isto é, uma trajetória não clássica. A abertura experimental para investigar esses pequenos desvios foi discutida por Sorkin [29] em um trabalho onde fenômenos de ordem superior incorporam a prescrição habitual de interferência quando três ou mais fendas caminhos interferem.

Contudo, só recentemente foi proposto um experimento para quantificar a interferência com trajetórias não clássicas [30-33]. A análise teórica que suporta tais experimentos é baseado nas integrais de caminho de Feynmann na presença de uma fenda com diferentes pesos para trajetórias clássicas e não clássicas, chamados de propagador. Em [30] foi introduzido o parâmetro de Sorkin  $k$  que mede a diferença entre a probabilidade proposta por Born na mecânica quântica.

Em [33] é proposto um experimento na fenda tripla que utiliza ondas de matéria ou fótons de baixa frequência esse que foi analiticamente descrito permitindo estimar um limite máximo para o parâmetro de Sorkin  $|\kappa_{max}| \approx 0.003\lambda/(d^{1/2}w)$ , onde  $\lambda$  é o comprimento de onda,  $d$  é a distancia centro a centro entre as fendas e  $w$  é o comprimento de cada fenda, confirmando que  $\kappa$  é muito sensível com a configuração experimental.

Aqui propomos incorporar no parâmetro  $\kappa$  o efeito da fase de Gouy para ondas de matéria e indicar tais considerações por meio do padrão de interferência. Iremos mostrar que o parâmetro de Sorkin no experimento de fenda tripla depende da diferença de fase de Gouy entre as trajetórias clássica e não-clássica. Além do mais, foi possível determinar uma expressão analítica para a fase de gouy de um caminho não clássico utilizada para estima  $\kappa \approx 10^{-8}$ .

## 2 Metodologia

Realizamos a propagação de um estado gaussiano de largura inicial  $\sigma_0$  produzido pela fonte coerente  $S$  através dos propagadores de Schrödinge, isto é, das funções de Green  $K_t$ ,  $K_\tau$  e  $K(1-2; 2-1)$  que levam em conta respectivamente os tempos de propagação antes e depois da fenda, assim como o tempo de 'looping' entre as fendas no experimento de fenda tripla. Resolvendo as integrais de propagação (1), (2) e (6) foi possível obter as funções de onda associadas as trajetórias clássica ( $\psi_{1,2,3}$ ) e a não-clássica ( $\psi_{nc}$ ) Figura(1). Com base em tais funções de onda, foi possível obter uma expressão analítica para fase de Gouy não clássica de ondas de matéria no experimento de fenda tripla.

### 3 Trajetória não clássica no experimento de fenda tripla

Nessa secção nos obteremos resultados analíticos para as funções de onda clássicas e não-clássicas no experimento de fenda tripla atentos para a fase de Gouy afim de analisar seus efeitos no padrão de interferência. Trataremos com um modelo unidimensional onde os efeitos quânticos são manifestados no eixo  $x$  como mostrado na figura 1.

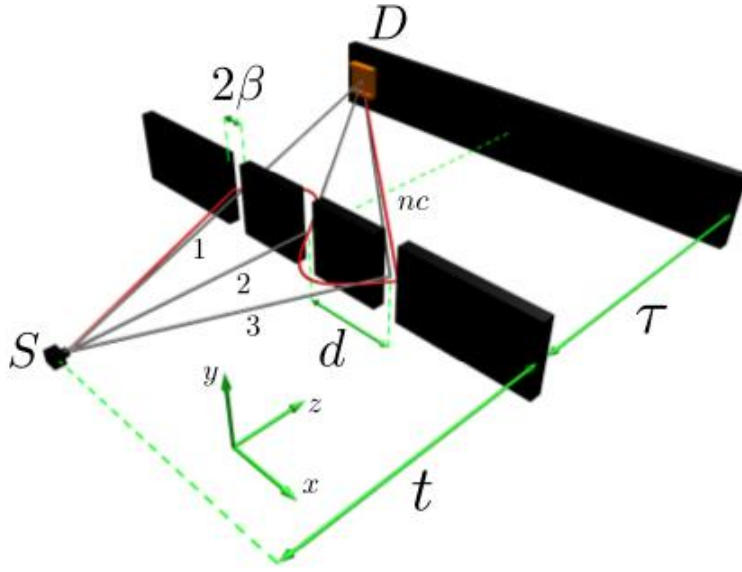


Figure 1: Experimento de fenda tripla. Pacote de onda gaussiano de comprimento transversal  $\sigma_0$  produzido por uma fonte  $S$  propaga-se um tempo  $t$  até a fenda tripla e um tempo  $\tau$  da fenda tripla ao detector  $D$ . As fendas são funções gaussianas com meia largura  $\beta$ .

As funções de onda associadas com trajetórias clássicas (linhas cinzas) são 1, 3 e 2, assim temos

$$\psi_{1,3}(x, t, \tau) = \int_{-\infty}^{\infty} K_{\tau}(x, t + \tau; x_j, t) F(x_j \pm d) K_t(x_j, t; x_0, 0) \psi_0(x_0), \quad (1)$$

já para o caminho clássico 2

$$\psi_2(x, t, \tau) = \int_{-\infty}^{\infty} K_{\tau}(x, t + \tau; x_j, t) F(x_j) K_t(x_j, t; x_0, 0) \psi_0(x_0), \quad (2)$$

onde

$$k_t(x_j, t; x_0, 0) = \sqrt{\frac{m}{2\pi i\hbar(t_j - t_0)}} \exp \left[ \frac{im(x_j - x_i)^2}{2\hbar(t_j - t_0)} \right], \quad (3)$$

$$F(x_j) = \exp \left[ -\frac{(x_j)^2}{2\beta^2} \right], \quad (4)$$

e

$$\psi_0(x_0) = \frac{1}{\sqrt{\sqrt{\pi}\sigma_0}} \exp \left( -\frac{x_0^2}{2\sigma_0^2} \right). \quad (5)$$

Os núcleos  $K_t(x_j, t; x_0, 0)$  e  $K_\tau(x, t+\tau; x_j, t)$  são os propagadores de Schrödinger para partícula livre, a função  $F(x_j)$  descreve a fenda que foi tratada como gaussiana de largura  $\beta$  que estão separadas por uma distância  $d$ ,  $\sigma_0$  é a largura efetiva do pacote de onda emitido da fonte  $S$ ,  $m$  é a massa da partícula,  $t$  e  $\tau$  são respectivamente os tempo de propagação antes e depois da fenda tripla. A função de onda associada com a trajetória não clássica (linha vermelha) e dada por

$$\begin{aligned} \psi_{nc}(x, t, \tau) = & \int_{-\infty}^{\infty} K_\tau(x, \tau + \hat{t}; x_3, \hat{t}) F(x_3 + d) F(x_2) \times \\ & \times K(1-2; 2-3) F(x_1 - d) K_t(x_1, t + \alpha; x_0, 0) \psi_0(x_0), \end{aligned} \quad (6)$$

onde  $\hat{t} = t + 2(\epsilon + \alpha)$  e

$$K(1-2; 2-3) = \sqrt{\frac{m}{4\pi i\hbar(\epsilon + \delta)}} \exp \left[ \frac{im[(x_2 - x_1)^2 + (x_3 - x_2)^2]}{4\hbar(\epsilon + \delta)} \right], \quad (7)$$

Este é o propagador que propaga o estado da fenda 1 para a 2 em seguida para fenda 3. O parâmetro  $\delta$  é um tempo de fenda auxiliar,  $\epsilon$  é o tempo gasto para passar de uma fenda a outra esse que é determinado pela incerteza na componente  $x$  do operador momento linear, isto é,  $\epsilon = \frac{d}{\Delta v_x}, (\Delta v_x = \Delta p_x/m)$  onde  $\Delta p_x = \sqrt{\langle \Delta \hat{p}_x^2 \rangle - \langle \Delta \hat{p}_x \rangle^2}$ . Essa estimativa é compatível com a construção da trajetória não clássica. Um argumento similar foi utilizado em [35], onde a dinâmica não clássica é baseado no principio da incerteza são considerados em um interferômetro. Trajetórias que circulam ao redor das fendas evidentemente contribuem menos para o padrão de interferência. Apos algumas manipulações algébricas encontramos as funções de onda

$$\psi_1(x, t, \tau) = A \exp(C1x^2 - C2x + C3) \exp(i\alpha_c x^2 - i\gamma_c x - i\theta_c + i\mu_c), \quad (8)$$

$$\psi_2(x, t, \tau) = A \exp(-C_1 x^2) \exp(i\alpha_c x^2 + i\mu_c), \quad (9)$$

$$\psi_3(x, t, \tau) = A \exp(C_1 x^2 + C_2 x + C_3) \exp(i\alpha_c x^2 + i\gamma_c x - i\theta_c + i\mu_c), \quad (10)$$

e

$$\psi_{nc}(x, t, \tau) = A_{nc} \exp(C_{1nc} x^2 + C_{2nc} x + C_{3nc}) \exp(i\alpha_{nc} x^2 + i\gamma_{nc} x - i\theta_{nc} + i\mu_{nc}). \quad (11)$$

onde é possível determinar a fase de Gouy de ondas de matéria associada com a trajetória não clássica

$$\mu_{nc} = \frac{1}{2} \arctan\left(\frac{z_I}{z_R}\right). \quad (12)$$

Todos os coeficientes que aparecem nas equações de (8)-(12) serão explicitados no apêndice. Como discutido em [11] as fases  $\theta_{nc}(t, \tau)$  e  $\mu_{nc}(t, \tau)$  são fases que não dependem da posição transversa  $x$ . Diferente de  $\mu_{nc}(t, \tau)$  a fase  $\theta_{nc}(t, \tau)$  é uma fase que depende do deslocamento  $d$  em relação a origem.

## 4 Parâmetro de Sorkin e Fase de Gouy para ondas de Elétron

Nessa seção nos analisamos o efeito da fase de Gouy na quantidade  $k$  para ondas de elétrons no experimento de fenda tripla (Fig.1). Primeiro nos observamos a intensidade normalizada  $I_n$  e o parâmetro  $k$  como função da posição transversa  $x$  na tela de detecção assim como dos tempos de propagação  $t, \tau$  antes e depois da fenda.

Segundo, nos observamos o parâmetro de Sorkin como função de  $x$  e  $\tau$  para um dado valor de  $t$  fixo.

Por terceiro, nos analisamos o comportamento de  $k$  com o tempo antes da fenda fixo, na posição  $x = 0$ , e como função de  $\tau$ .

Em  $x = 0$  o efeito da fase de Gouy é mais evidente no padrão de interferência como pode-se ver nas equações (10-11), de fato uma vez que temos a expressão analítica para todos os termos da função de onda não clássica nosso estudo pode ser generalizado para vermos as demais dependências.

Na construção dos gráficos, da intensidade normalizada e do parâmetro de Sorkin, utilizamos ondas de elétrons com os seguintes parâmetros:  $m = 9.11 \times 10^{-31}$  kg,  $d = 650$  nm,  $\beta = 64$  nm,  $\sigma_0 = 62$  nm,  $t = 18$  ns,  $\tau = 15$  ns. Utilizando esses valores foi possível determinar  $\epsilon = 0.492$  ns.

A figura representa a intensidade normalizada  $I_n$  como função de  $x$ , no limite de Fraunhofer Além de ser semelhante as referência [31] e [32], tal curva mostra o padrão de interferência com máximos e mínimos evidenciando a natureza ondulatória da matéria.

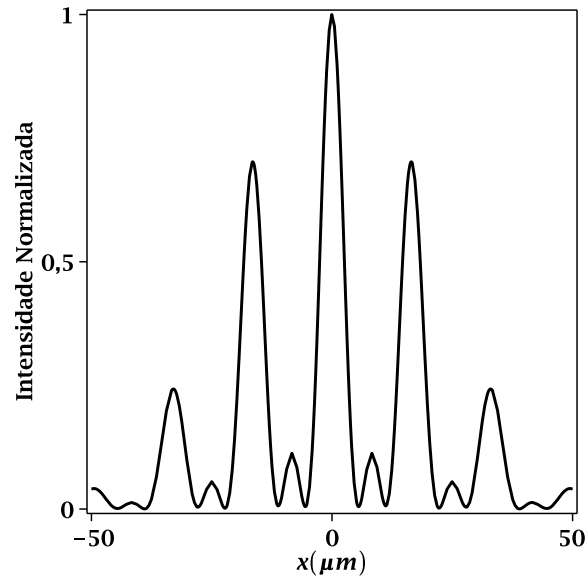


Figure 2: Intensidade Normalizada como função de  $x$

Na figura 3, temos o gráfico do parâmetro  $k$  como uma função de  $x$ , onde pode-se perceber o efeito direto da fase de Gouy (linha sólida e linha pontilhada) na curva do parâmetro de Sorkin. Bem como, nosso modelo teórico corroborar os resultados obtidos em [32], onde  $k$  é estimado como sendo da ordem de  $10^{-8}$  dando credibilidade para nossa análise simplificada.



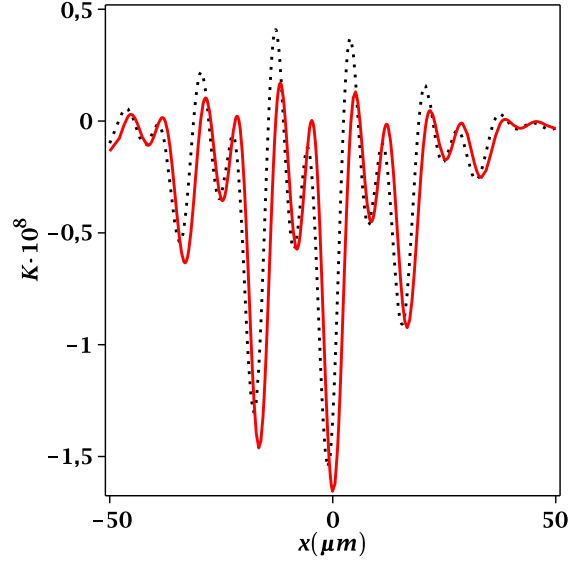


Figure 3: Parâmetro de Sorkin como função de  $x$ . Linha solida contem a fase de Gouy e pontilhada sem a fase

## 5 Apêndice 1: Coeficientes das funções de onda clássica

Os coeficientes abaixo são correspondentes as equações (8)-(8)

$$A = \frac{m}{2\hbar\sqrt{\sqrt{\pi}t\tau\sigma_0}} \left[ \left( \frac{m^2}{4\hbar^2 t\tau} - \frac{1}{4\beta^2 \sigma_0^2} \right)^2 + \frac{m^2}{16\hbar^2} \left( \frac{1}{\beta^2 t} + \frac{1}{\sigma_0^2 t} + \frac{1}{\sigma_0^2 \tau} \right)^2 \right]^{-1/4}, \quad (13)$$

$$\mu_c = -\frac{1}{2} \arctan \left[ \frac{t + \tau(1 + \frac{\sigma_0^2}{\beta^2})}{\tau_0(1 - \frac{t\tau\sigma_0^2}{\tau_0^2\beta^2})} \right], \quad (14)$$

$$\theta_c = -\frac{d^2}{2} \left[ \frac{2m\hbar(\tau^2\hbar^2 t + t^2\hbar^2 \tau + m^2\sigma_0^4 \tau)}{\Pi} \right], \quad (15)$$

$$\gamma_c = \frac{1}{2} \left[ \frac{m\hbar(-2t^2 d\hbar^2 \tau - 2m^2\sigma_0^2 d\tau\beta^2 - 2m^2\sigma_0^4 \tau d)}{\Pi} \right], \quad (16)$$

$$\alpha_c = \frac{1}{2} \left[ \frac{m\hbar(t^2\hbar^2 \tau + m^2\tau\beta^4 + 2m^2\sigma_0^2\beta^2\tau + m^2\sigma_0^4 \tau + m^2\sigma^4 \tau)}{\Pi} \right], \quad (17)$$

$$C1 = -\frac{1}{2} \left[ \frac{m^2 \left( \beta^4 m^2 \sigma_0^2 + \sigma_0^4 m^2 \beta^2 + \hbar^2 t^2 \beta^2 \right)}{\Pi} \right], \quad (18)$$

$$C2 = -\frac{1}{2} \left[ \frac{m^2 \left( -2\sigma_0^4 d m^2 \beta^2 - 2\hbar^2 t d \beta^2 \tau - 2\hbar^2 t^2 d \beta^2 \right)}{\Pi} \right], \quad (19)$$

$$C3 = -\frac{1}{2} \left[ \frac{m^2 \left( \sigma_0^4 m^2 \beta^2 + \hbar \tau^2 \beta^2 + \hbar^2 \tau^2 \sigma_0^2 + 2\hbar^2 \tau \beta^2 t + \hbar^2 t^2 \beta^2 \right)}{\Pi} \right], \quad (20)$$

$$\Pi = \hbar^4 \tau^2 t^2 + m^2 \hbar^2 \left[ (t + \tau)^2 \beta^4 + 2\tau^2 \beta^2 \sigma_0^2 + \tau^2 \sigma_0^4 \right] + m^4 \hbar^4 \sigma_0^4. \quad (21)$$

## 6 Apêndice 2: Coeficientes da função de onda não clássica

$$A_{nc} = \sqrt{\frac{m^3 \sqrt{\pi}}{16 \hbar^3 t \tau \varepsilon \sigma_0 \sqrt{z_R^2 + z_I^2}}} \quad (22)$$

$$\mu_{nc} = -\frac{1}{2} \arctan \left( \frac{z_I}{z_R} \right), \quad (23)$$

$$\theta_{nc} = \frac{m \hbar}{2} \left( \frac{\eta}{\xi} \right) d^2, \quad (24)$$

$$\gamma_{nc} = \frac{m \hbar}{2} \left( \frac{\Delta}{\xi} \right), \quad (25)$$

$$\alpha_{nc} = \frac{m \hbar}{2} \left( \frac{\Lambda}{\xi} \right), \quad (26)$$

$$C1_{nc} = -\frac{m^2}{2} \left( \frac{\varphi}{\xi} \right), \quad (27)$$

$$C2_{nc} = -\frac{m^2}{2} \left( \frac{\omega}{\xi} \right), \quad (28)$$

$$C3_{nc} = -\frac{m^2 d^2}{2} \left( \frac{\Omega}{\xi} \right), \quad (29)$$

$$\begin{aligned}
z_I = & -\beta^6 m^4 \sigma_0^2 + 3\hbar^2 m^2 \beta^2 \left[ \frac{4}{3} \varepsilon^2 + (2t + 2\tau) \varepsilon + \tau t \right] \\
& + 8\hbar^2 \varepsilon \sigma_0^2 m^2 \beta^2 \left( \frac{\varepsilon + \tau}{2} \right) - 4\hbar^4 \varepsilon^2 \tau t
\end{aligned} \quad (30)$$

$$z_R = m\hbar\beta^2 \left[ m^2 \beta^6 (\tau + 4\varepsilon + t) + 3m^2 \sigma_0^2 \beta^4 (\tau + 2\varepsilon) - 8\hbar^2 \varepsilon \left( \frac{\tau}{2} + \frac{t}{2} + \tau t \right) \right] \quad (31)$$

$$\begin{aligned}
\eta = & 8\beta^4 \hbar^2 m^4 \sigma_0^4 \varepsilon^3 + 4\beta^8 \hbar^2 m^4 t^2 \varepsilon + 16\beta^8 \hbar^2 m^4 t \varepsilon^2 + 4\beta^8 m^6 \sigma_0^4 \varepsilon + 16\hbar^6 \tau^2 t^2 \varepsilon^3 \\
& 16\hbar^6 \tau^2 t \varepsilon^4 + 16\hbar^6 \tau t^2 \varepsilon^4 + 4\hbar^2 \tau^2 \beta^8 \varepsilon + 16\hbar^2 \tau m^4 \beta^8 \varepsilon^2 + 8\hbar^4 \tau^2 m^2 \beta^4 \varepsilon^3 \\
& + 16\hbar^4 \tau m^2 \beta^4 \varepsilon^4 + 8\beta^4 \hbar^4 m^2 t^2 \varepsilon^3 + 16\hbar^4 t m^2 \beta^4 \varepsilon^4 + 16\hbar^4 \tau^2 m^2 \sigma_0^4 \varepsilon^3 \\
& + 16\hbar^4 \hbar^4 \tau m^2 \sigma_0^4 \varepsilon^4 + 8\beta^8 \hbar^2 \tau m^4 t \varepsilon + 24\beta^6 \hbar^2 \tau^2 m^4 \sigma_0^2 \varepsilon + 48\beta^6 \hbar^2 \tau m^4 \sigma_0^2 \varepsilon^2 \\
& + 36\beta^4 \hbar^4 \tau^2 m^2 t^2 \varepsilon + 44\beta^4 \hbar^4 \tau^2 m^2 t \varepsilon^2 + 44\beta^4 \hbar^4 \tau m^2 t^2 \varepsilon^2 + 32\beta^4 \hbar^4 \tau m^2 t \varepsilon^3 \\
& + 36\beta^4 \hbar^2 \tau^2 m^4 \sigma_0^4 \varepsilon + 44\beta^4 \hbar^2 \tau m^4 \sigma_0^4 + 16\beta^2 \hbar^4 \tau^2 m^2 \sigma_0^2 \varepsilon^3 + 32\beta^2 \hbar^4 \tau m^2 \sigma_0^2 \varepsilon^3 \varepsilon^2
\end{aligned} \quad (32)$$

$$\begin{aligned}
\Delta = & 12\beta^8 \hbar^2 \tau d m^4 t \varepsilon + 104\beta^6 \hbar^2 \tau d m^4 \sigma_0^2 \varepsilon^2 + 72\beta^4 \hbar^4 \tau d m^2 t^2 \varepsilon^2 \\
& + 32\beta^4 \hbar^4 \tau d m^2 t \varepsilon^3 + 72\beta^4 \hbar^2 \tau d m^4 \sigma_0^4 t \varepsilon^2 + 64\beta^2 \hbar^4 \tau d m^2 \sigma_0^2 \varepsilon^2 \\
& - 12\beta^8 d m^6 \sigma_0^4 \varepsilon + 32\hbar^6 \tau d t^2 \varepsilon^4 - 8\beta^{10} d m^6 \sigma_0^2 \varepsilon + 40\beta^8 \hbar^2 \tau d m^4 \varepsilon^2 \\
& - 12\beta^8 \hbar^2 d m^4 t^2 \varepsilon - 8\beta^8 \hbar^2 d m^4 t \varepsilon^2 + 32\beta^4 \hbar^4 \tau d m^2 \varepsilon^4 + 32\hbar^4 \tau d m^2 \sigma_0^4 \varepsilon^4
\end{aligned} \quad (33)$$

$$\begin{aligned}
\Lambda = & \beta^{12} \tau m^6 + \beta^{12} m^6 t + 4\beta^{12} m^6 \varepsilon + 6\beta^{10} \tau m^6 \sigma_0^2 + 12\beta^{10} m^6 \sigma_0^2 \varepsilon \\
& + 8\beta^8 \hbar^2 m^4 \varepsilon^3 + 9\beta^8 \tau m^6 \sigma_0^4 + 10\beta^8 \tau m^6 \sigma_0^4 \varepsilon + 16\hbar^6 \tau t^2 \varepsilon \\
& + 9\beta^8 \hbar^2 \tau m^4 t^2 + 28\beta^8 \hbar^2 \tau m^4 \varepsilon^2 + 10\beta^8 \hbar^2 \tau m^4 t^2 \varepsilon \\
& + 8\beta^8 \hbar^2 \tau m^4 t \varepsilon^2 + 16\beta^6 \hbar^2 m^4 \sigma_0^2 \varepsilon^3 + 16\beta^4 \hbar^4 \tau m^2 \varepsilon^4 + 8\beta^4 \hbar^4 m^2 t^2 \varepsilon^3 \\
& + 8\beta^4 \hbar^2 m^4 \sigma_0^4 \varepsilon^3 + 16\hbar^4 \tau m^2 \sigma_0^4 \varepsilon^4 + 20\beta^8 \hbar^2 \tau m^4 t \varepsilon + 64\beta^6 \hbar^2 \tau m^4 \sigma_0^2 \varepsilon^2 \\
& + 40\beta^4 \hbar^4 \tau m^2 t^2 \varepsilon^2 + 16\beta^4 \hbar^4 \tau m^2 t \varepsilon^3 + 40\beta^4 \hbar^2 \tau m^4 \sigma_0^4 \varepsilon^2 + 32\beta^2 \hbar^4 \tau m^2 \sigma_0^2 \varepsilon^4
\end{aligned} \quad (34)$$

$$\begin{aligned}
\varphi = & \beta^{12} m^6 \sigma_0^2 + 3\beta^{10} m^6 \sigma_0^4 + 3\beta^{10} \hbar^2 m^4 t^2 + 12\beta^{10} \hbar^2 m^4 t \varepsilon \\
& + 20\beta^{10} \hbar^2 m^4 t \varepsilon^2 + 48\beta^8 \hbar^2 m^4 \sigma_0^2 \varepsilon^2 + 32\beta^6 \hbar^2 m^4 \sigma_0^4 \varepsilon^2 \\
& + 32\beta^6 \hbar^4 m^2 t^2 \varepsilon^2 + 16\beta^6 \hbar^4 m^2 t \varepsilon^3 + 16\beta^6 \hbar^4 m^2 \varepsilon^4 \\
& + 32\beta^4 \hbar^4 m^4 \sigma_0^2 \varepsilon^4 + 16\beta^2 \hbar^4 m^4 \sigma_0^4 \varepsilon^4 + 16\beta^2 \hbar^6 t^2 \varepsilon^4
\end{aligned} \quad (35)$$

$$\begin{aligned}
\omega = & 36\beta^8\hbar^2\tau dm^4\sigma_0^2\varepsilon + 36\beta^6\hbar^4\tau dm^2t^2\varepsilon + 24\beta^6\hbar^4\tau dm^2t\varepsilon^2 \\
& + 36\beta^6\hbar^2\tau dm^4\sigma_0^4\varepsilon^3 + 32\beta^4\hbar^4\tau dm^2\sigma_0^2\varepsilon^3 + 16\beta^2\hbar^4\tau dm^2\sigma_0^4\varepsilon^3 \\
& + 8\beta^{10}\hbar^2\tau dm^4\varepsilon + 8\beta^{10}\hbar^2dm^4t\varepsilon + 88\beta^8\hbar^2dm^4\sigma_0^2\varepsilon^2 \\
& + 16\beta^6\hbar^4\tau dm^2\varepsilon^3 + 16\beta^6\hbar^4\tau dm^2\varepsilon^3 + 64\beta^6\hbar^4dm^2t^2\varepsilon^2 \\
& + 32\beta^6\hbar^4dm^2t\varepsilon^3 + 64\beta^6\hbar^2dm^4\sigma_0^4\varepsilon^2 + 64\beta^4\hbar^4dm^2\sigma_0^2\varepsilon^4 \\
& + 16\beta^2\hbar^6\tau dt^2\varepsilon^3 + 32\beta^2\hbar^4dm^2\sigma_0^4\varepsilon^4 + 32\beta^{10}\hbar^2dt^2m^4\varepsilon^2 \\
& + 32\beta^6\hbar^4dm^2\varepsilon^4 + 32\beta^2\hbar^6dt^2\varepsilon^3
\end{aligned} \tag{36}$$

$$\begin{aligned}
\Omega = & 2\beta^{10}m^6\sigma_0^4 + 2\beta^{10}\hbar^2m^4t^2 + 32\beta^{10}\hbar^2m^2\varepsilon^4 + 32\beta^6\hbar^4m^2\varepsilon^4 \\
& + 16\beta^2\hbar^6t^2m^6\varepsilon^4 + 48\beta^8\hbar^2\tau m^4\sigma_0^2\varepsilon + 40\beta^6\hbar^4\tau^2m^2t\varepsilon \\
& + 40\beta^6\hbar^4\tau m^2t^2\varepsilon + 40\beta^6\hbar^4\tau m^2t\varepsilon^2 + 40\beta^6\hbar^2\tau m^4\sigma_0^4\varepsilon \\
& + 44\beta^4\hbar^4\tau^2m^2\sigma_0^2\varepsilon^2 + 48\beta^4\hbar^4\tau m^2\sigma_0^2\varepsilon^3 + 8\beta^2\hbar^4\tau^2m^2\sigma_0^4\varepsilon^2 \\
& + 16\beta^2\hbar^4\tau m^2\sigma_0^4\varepsilon^3 + 4\beta^{10}\hbar^2\tau m^4t + 16\beta^{10}\hbar^2\tau m^4\varepsilon \\
& + 12\beta^8\hbar^2\tau^2m^4\sigma_0^2 + 18\beta^6\hbar^4\tau^2m^2t^2 + 36\beta^6\hbar^4\tau^2m^2\varepsilon^2 \\
& + 32\beta^6\hbar^4\tau m^2\varepsilon^3 + 18\beta^6\hbar^2\tau^2m^4\sigma_0^4 + 8\beta^2\hbar^6\tau^2t^2\varepsilon^2 \\
& + 16\beta^2\hbar^6\tau^2t\varepsilon^3 + 16\beta^2\hbar^6\tau t\varepsilon^3 + 64\beta^8\hbar^2\tau m^4\sigma_0^2\varepsilon^2 \\
& + 16\beta^{10}\hbar^2\tau^2m^4t\varepsilon + 36\beta^6\hbar^4m^2t^2\varepsilon^2 + 36\beta^6\hbar^2m^4\sigma_0^4\varepsilon^2 \\
& + 48\beta^4\hbar^4m^2\sigma_0^2\varepsilon^4 + 16\beta^2\hbar^4m^2\sigma_0^4\varepsilon^4 \\
& + 2\beta^{10}\hbar^2t^2m^4 + 16\beta^2\hbar^6\tau^2\varepsilon^4 + 2\beta^{10}\hbar^2t^2m^4 + 16\hbar^6\tau^2\sigma_0^2\varepsilon^4
\end{aligned} \tag{37}$$

$$\begin{aligned}
\xi = & \beta^{12}\hbar^2\tau^2m^6 + \beta^{12}\hbar^2m^6t^2 + 16\beta^{12}\hbar^2m^6\varepsilon^2 + 16\beta^{12}\hbar^4m^4\varepsilon^4 \\
& 16\beta^{12}\hbar^8\tau^2t^2\varepsilon^4 + 2\beta^{12}\hbar^2\tau m^6t + 8\beta^{12}\hbar^2\tau m^6\varepsilon + 8\beta^{12}\hbar^2m^6t\varepsilon \\
& 6\beta^{10}\hbar^2\tau^2m^6\sigma_0^2 + 40\beta^{10}\hbar^2m^6\sigma_0^2\varepsilon^2 + 9\beta^8\hbar^4\tau^2m^4t \\
& + 28\beta^8\hbar^4\tau^2m^4\varepsilon^2 + 16\beta^8\hbar^4\tau m^4\varepsilon^3 + 28\beta^8\hbar^4m^4t^2\varepsilon^3 \\
& + 16\beta^8\hbar^4m^4t\varepsilon^3 + 9\beta^8\hbar^2\tau^2m^6\sigma_0^4 + 28\beta^8\hbar^2m^6\sigma_0^4\varepsilon^2 \\
& + 32\beta^6\hbar^4m^4\sigma_0^2\varepsilon^4 + 16\beta^4\hbar^6\tau^2m^2t\varepsilon^4 + 16\beta^4\hbar^6m^2t^2\varepsilon^4 \\
& + 16\beta^4\hbar^4m^4\sigma_0^4\varepsilon^4 + 16\hbar^6\tau^2m^2\sigma_0^4\varepsilon^4 + \beta^{12}m^8\sigma_0^4 \\
& + 24\beta^{10}\hbar^2\tau m^6\sigma_0^2\varepsilon + 20\beta^8\hbar^4\tau^2m^4t\varepsilon + 20\beta^8\hbar^4\tau m^4t^2\varepsilon \\
& + 16\beta^8\hbar^4\tau m^4t\varepsilon^2 + 20\beta^8\hbar^2\tau m^6\sigma_0^4\varepsilon + 64\beta^6\hbar^4\tau^2m^4\sigma_0^2\varepsilon^2 \\
& + 32\beta^6\hbar^4\tau m^4\sigma_0^2\varepsilon^3 + 40\beta^4\hbar^6\tau^2m^2t^2\varepsilon^2 + 16\beta^4\hbar^6\tau^2m^2t\varepsilon^3 \\
& 16\beta^4\hbar^6\tau m^2t^2\varepsilon^3 + 40\beta^4\hbar^4\tau^2m^4\sigma_0^4\varepsilon^2 + 16\beta^4\hbar^4\tau m^4\sigma_0^4\varepsilon^3 \\
& + 32\beta^2\hbar^6\tau^2m^2\sigma_0^2\varepsilon^4
\end{aligned} \tag{38}$$

## 7 Conclusões e Perspectivas

Este trabalho de iniciação científica foi de suma importância para o entendimento de alguns fundamentos que tornam a Mecânica Quântica intrigante. Realizando a propagação de um estado Gaussiano de ondas de matéria, por meio de uma trajetória não clássica no experimento de fenda tripla foi possível obter a função de onda que descreve a trajetória não clássica ( $\psi_{nc}$ ) bem como, uma expressão analítica para fase de Gouy de ondas de matéria nesse experimento.

A posteriori na outra metade desse trabalho realizaremos a estimativa do parâmetro de Sorkin que informa sobre a contribuição dos caminhos não clássicos no padrão interferência.

## References

- [1] L. G. Gouy, C. R. Acad. Sci. Paris 110, 1251 (1890).
- [2] L. G. Gouy, Ann. Chim. Phys. Ser. 6 24, 145 (1891).
- [3] T. D. Visser and E. Wolf, Opt. Comm. 283, 3371 (2010).
- [4] R. Simon and N. Mukunda, Phys. Rev. Lett. 70, 880 (1993).
- [5] S. Feng and H. G. Winful, Opt. Lett. 26, 485 (2001).
- [6] J. Yang and H. G. Winful, Opt. Lett. 31, 104 (2006).
- [7] R. W. Boyd, J. Opt. Soc. Am. 70, 877 (1980).
- [8] P. Hariharan and P. A. Robinson, J. Mod. Opt. 43, 219 (1996).
- [9] S. Feng, H. G. Winful, and R. W. Hellwarth, Opt. Lett. 23, 385 (1998).
- [10] X. Pang, T. D. Visser, and E. Wolf, Opt. Comm. 284, 5517 (2011); X. Pang, G. Gbur, and T. D. Visser, Opt. Lett. 36, 2492 (2011); X. Pang, D. G. Fischer, and T. D. Visser, J. Opt. Soc. Am. A 29, 989 (2012); X. Pang and T. D. Visser, Opt. Exp. 21, 8331 (2013); X. Pang, D. G. Fischer, and T. D. Visser, Opt. Lett. 39, 88 (2014).
- [11] C. J. S. Ferreira, L. S. Marinho, T. B. Brasil, L. A. Cabral, J. G. G. de Oliveira Jr, M. D. R. Sampaio, and I. G. da Paz, Ann. of Phys. 362, 473 (2015).
- [12] D. Chauvat, O. Emile, M. Brunel, and A. Le Floch, Am. J. Phys. 71, 1196 (2003).
- [13] N. C. R. Holme, B. C. Daly, M. T. Myaing, and T. B. Norris, Appl. Phys. Lett. 83, 392 (2003).
- [14] W. Zhu, A. Agrawal, and A. Nahata, Opt. Exp. 15, 9995 (2007).
- [15] T. Feurer, N. S. Stoyanov, D. W. Ward, and K. A. Nelson, Phys. Rev. Lett. 88, 257 (2002).
- [16] A. Hansen, J. T. Schultz, and N. P. Bigelow, Conference on Coherence and Quantum Optics Rochester (New York, United States, 2013); J. T. Schultz, A. Hansen, and N. P. Bigelow, Opt. Lett. 39, 4271 (2014).

- [17] G. Guzzinati, P. Schattschneider, K. Y. Bliokh, F. Nori, and J. Verbeeck, Phys. Rev. Lett. 110, 093601 (2013).
- [18] T. C. Petersen, D. M. Paganin, M. Weyland, T. P. Sim- ula, S. A. Eastwood, and M. J. Morgan, Phys. Rev. A 88, 043803 (2013).
- [19] A. E. Siegman, Lasers, University Science Books, Sausal- ito CA, 1986.
- [20] Ph. Balcou and A. L. Huillier, Phys. Rev. A 47, 1447 (1993); M. Lewenstein, P. Salieres, and A. L. Huillier, Phys. Rev. A 52, 4747 (1995); F. Lindner, W. Stremme, M. G. Schatzel, F. Grasbon, G. G. Paulus, H. Walther, R. Hartmann, and L. Struder, Phys. Rev. A 68, 013814 (2003).
- [21] F. Lindner, G. Paulus, H. Walther, A. Baltuska, E. Gouliel- makis, M. Lezius, and F. Krausz, Phys. Rev. Lett. 92, 113001 (2004).
- [22] L. Allen, M. W. Beijersbergen, R.J.C. Spreeuw, and J.P. Wo- erdman, Phys. Rev. A 45, 8185 (1992); L. Allen, M. Padgett, and M. Babiker, Prog. Opt. 39, 291 (1999).
- [23] S. Sato and S. Kawamura, Journal of Physics: Conference Se- ries 122, 012025 (2008).
- [24] I. G. da Paz, M. C. Nemes , S. Padua, C. H. Monken, and J.G. Peixoto de Faria, Phys. Lett. A 374, 1660 (2010).
- [25] I. G. da Paz, P. L. Saldanha, M. C. Nemes, and J. J. Peixoto de Faria, New J. of Phys. 13, 125005 (2011).
- [26] R. Ducharme and I. G. da Paz, Phys. Rev. A 92, 023853 (2015).
- [27] H. Yabuki, Int. J. Theor. Ph. 25, 159 (1986).
- [28] R. P. Feynman and A. R. Hibbs, Quantum Mechanics and Path Integrals (McGraw-Hill, New York, 3rd. ed. 1965).
- [29] R. D. Sorkin, Mod. Phys. Lett. A 09, 3119 (1994).
- [30] U. Sinha, C. Couteau, T. Jennewein, R. Laflamme, and G. Weihs, Science 329, 418 (2010).

- [31] H. D. Raedt, K. Michielsen, and K. Hess, Phys. Rev. A 85, 012101 (2012).
- [32] R. Sawant, J. samuel, A. Sinha, S. Sinha, and U. Sinha, Phys. Rev. Lett. 113, 120406 (2014).
- [33] A. Sinha, A. H. Vijay, and U. Sinha, Scientific Reports 5, 10304 (2015).
- [34] J. S. M. Neto, L. A. Cabral, and I. G. da Paz, Eur. J. Phys. 36, 035002 (2015).
- [35] O. C. O. Dahlsten, A. J. P. Garner, and V. Vedral, Nat. Commun. 5, 4592 (2014).
- [36] O. C. O. Dahlsten, A. J. P. Garner, and V. Vedral, Nat. Commun. 5, 4592 (2014).